

## 白良浜の海浜流の数値シミュレーション

京都大学防災研究所 正会員 土屋義人  
 岐阜大学工学部 " 安田孝志  
 京都大学防災研究所 " 山下隆男  
 京都大学大学院 学生会員 吐谷潤一

1. 緒言 周知のようすに、和歌山県白良浜は、その名の示すとおり白砂の典型的な pocket beach であり、温暖な気候と背後に温泉を有する近畿地方屈指のリゾートセンターとして盛りてき来た浜である。しかしながら、この浜は冬期季節風による飛砂や、台風および季節風時の波浪による海浜変形のため、比較的安定な海浜形状を有していないともかかわらず、近年海浜の保全対策の必要性が高まっている。これら自然外力による要因のみならず、砂採取等の人工的要因が存在することはもちろんであるが、今後この浜を侵食から守っていかう意味においても、この浜の海浜流の特性を知ることは重要である。本研究では、風および台風時の波浪を対象とした数値シミュレーションにより、白良浜の海浜流特性を検討する。

2. 計算条件および方法 ここで対象とする外力は、N, NW, およびSW 方向の風(風速 20 m/sec)および台風 7920 号による典型的な波浪条件について(図-1)、後者の沖波条件は図-1 のとおりである。また、計算の対象領域は図-2 に示すとおりで、 $\Delta x = 15m$  の格子網で船山湾を分割した。波浪計算は数値波動解析法を用い、海浜流計算には次式の有限差分法で解くことにした。

$$\begin{cases} \partial M / \partial t + \partial (M U) / \partial x + \partial (M V) / \partial y = -g(\bar{u} + \bar{v}) \partial z / \partial x - (\partial S_{xx} / \partial x + \partial S_{yy} / \partial y) + T_{xx} - T_{yy} \\ \partial V / \partial t + \partial (N U) / \partial x + \partial (N V) / \partial y = -g(\bar{u} + \bar{v}) \partial z / \partial y - (\partial S_{xy} / \partial x + \partial S_{yy} / \partial y) + T_{xy} - T_{yy} \\ \partial z / \partial x + 1/\rho (\partial M / \partial x + \partial N / \partial y) = 0 \end{cases} \quad (1)$$

ここで、 $M = (\bar{u} + \bar{v})U$ ,  $N = (\bar{u} + \bar{v})V$ ,  $\bar{u}$ : 平均海面,  $U$ : 水深,  $S_{xx}$ ,  $S_{yy}$ : radiation stress, 海底へのせん断応力( $T_{xx}$ ,  $T_{yy}$ ) =  $\rho C_f (U/V) \sqrt{U^2 + V^2}$ , 海面せん断応力( $T_{xy}$ ,  $T_{yy}$ ) =  $\rho C_d (U_x, U_y) \sqrt{U_x^2 + U_y^2}$ ,  $U_x, U_y$ : 風速,  $\rho$ : 流れの密度,  $g$ : 重力加速度である。一方数値波動解析法による波の平面分角は、次式の基礎方程式を、汀線において無反射、湯崎側反射率 0.2、確現湯崎側反射率 0.05 を与え、さらに碎波帶内、外エネルギー保存則を満たすよう補正係数  $f_1, f_2$  を導入し、差分法により解いた。

$$\partial \theta_x / \partial t = -C^2 \partial \theta_x / \partial x, \quad \partial \theta_y / \partial t = -C^2 \partial \theta_y / \partial y, \quad \partial \theta_x / \partial t + \partial \theta_x / \partial x + \partial \theta_y / \partial y = 0 \quad (2)$$

ここで、 $C^2 = g \tau_a / \rho h$ ,  $\theta_x = \int_0^h u dz$ ,  $Q_y = \int_0^h v dz$ ,  $(u, v)$ : 波の水平水粒子速度,  $h$ : 水面変動、および各波数である。なお、碎波帶外の補正係数( $f_0 = (h_2/h_1)^{-1/2}$ ,  $h_2 = 1/2 (1 + 2\pi h_1 / \sinh 2\pi h_1)$  および碎波帶内では  $f_1 = (C_1/C_2)^2 (h_2/h_1)$ ,  $C_1 = \sqrt{g h_1 / tanh 2\pi h_1}$  である)。

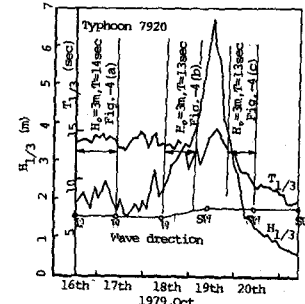


図-1 台風7920号による沖波の条件

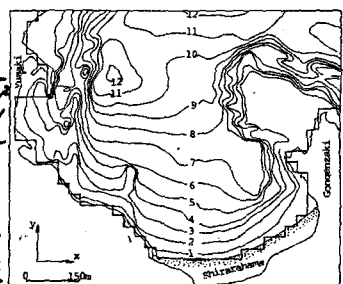


図-2 計算領域

3. 白良浜の海浜流の特性 図-3はNW, WおよびNW方向の風による吹送流の流況の計算結果で、流れのパターンは海底地形により規定されといふことがわかる。すなはち、NW方向の場合には権現崎を通過して流れが白良浜の北端奥深くまで回り込んじて流れが中央部で離岸流と形成してい。またNW方向では、浜の前面で北向きの流れが生じ、この流れは権現崎の先端を大きく回って外海へ出でいくことがわかる。一方、図-4は図-1に示した波浪条件のもとで、計算された波高分布およびそれに伴う波浪流を示したものである。この図から明らかなるように、白良浜における流況は、台風時のN~NWの波向との場合にもN方向の流れが卓越し、浜の北端部でこのと反対方向の反時計回りの小さなセルが生じている。これは波高の分布にみられるように、権現崎の沖に存在する高波浪領域においては、碎波のため波浪エネルギー勾配が急になつていて、権現崎を通過する波浪束によって流れが規定されると言えらる。一方権現崎側においては、波向によって波浪流の方向が変化するが、この傾向は波高分布によく表わされている。

4. 結語 以上、鋸山湾を対象とした風および波浪による流れの特性を数値シミュレーションにより考察した結果、鋸山湾の波浪特性としては、波向によって湯崎側と権現崎側とで波高分布が異なり、これに対応して海浜流の特性も変わると、台風時においても、白良浜近傍にN方向の流れが卓越することから、また、外海へ出でゆく流れは、一般的に浜中央部の水深の深い所を通じ、権現崎を回っていくことがわかった。

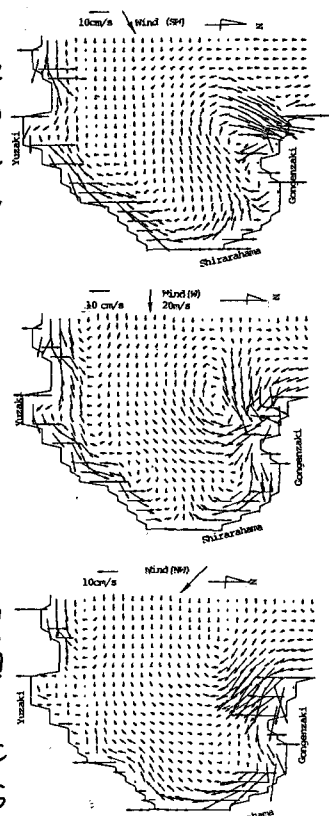


図-3 吹送流の流速分布

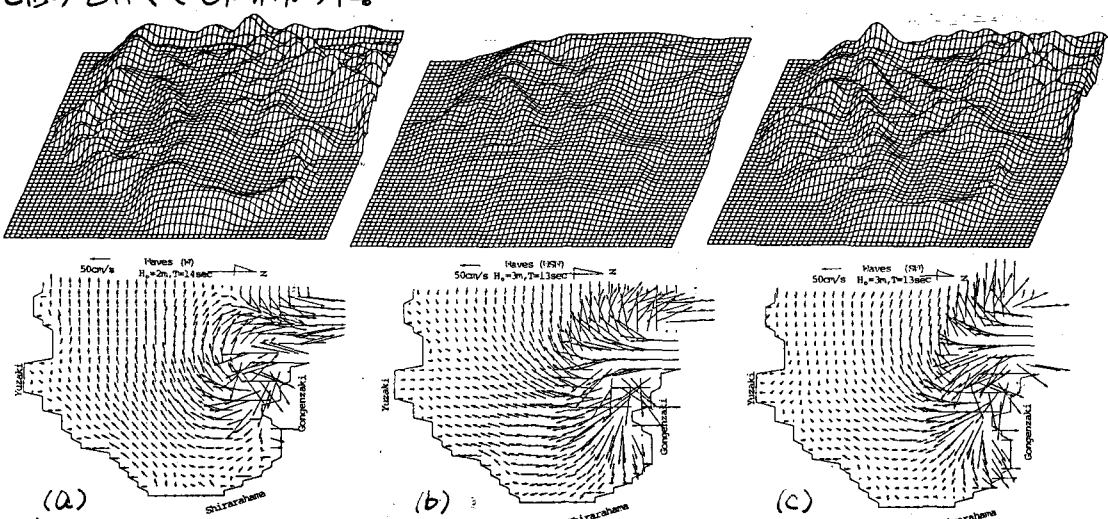


図-4 海浜流の平面分布